

# Capteurs pour Véhicules Autonomes

**Patrick J Bonnin**

# Un Certain Nombre de Véhicules

**Carnegie Mellon Univiersity:**

✓ Grand, puis Urban Challenge DARPA



*Boss, l'engin de l'équipe de Carnegie Mellon au Urban Challenge (2007) de la Darpa. Bardé d'énormes capteurs, dont le fameux lidar Velodyne. ©Velodyne*

## Un Certain Nombre de Véhicules

- Institut Français des Sciences et Technologies des Transports et Aménagement Réseau:
  - ✓ Université Gustave Eiffel





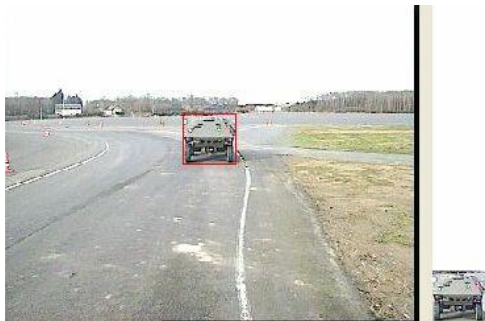
# Grand Challenge DARPA

- **Véhicules Autonomes :**
  - ✓ Editions 2004 et 2005 ;
  - ✓ Off Road;
  - ✓ Militaire;



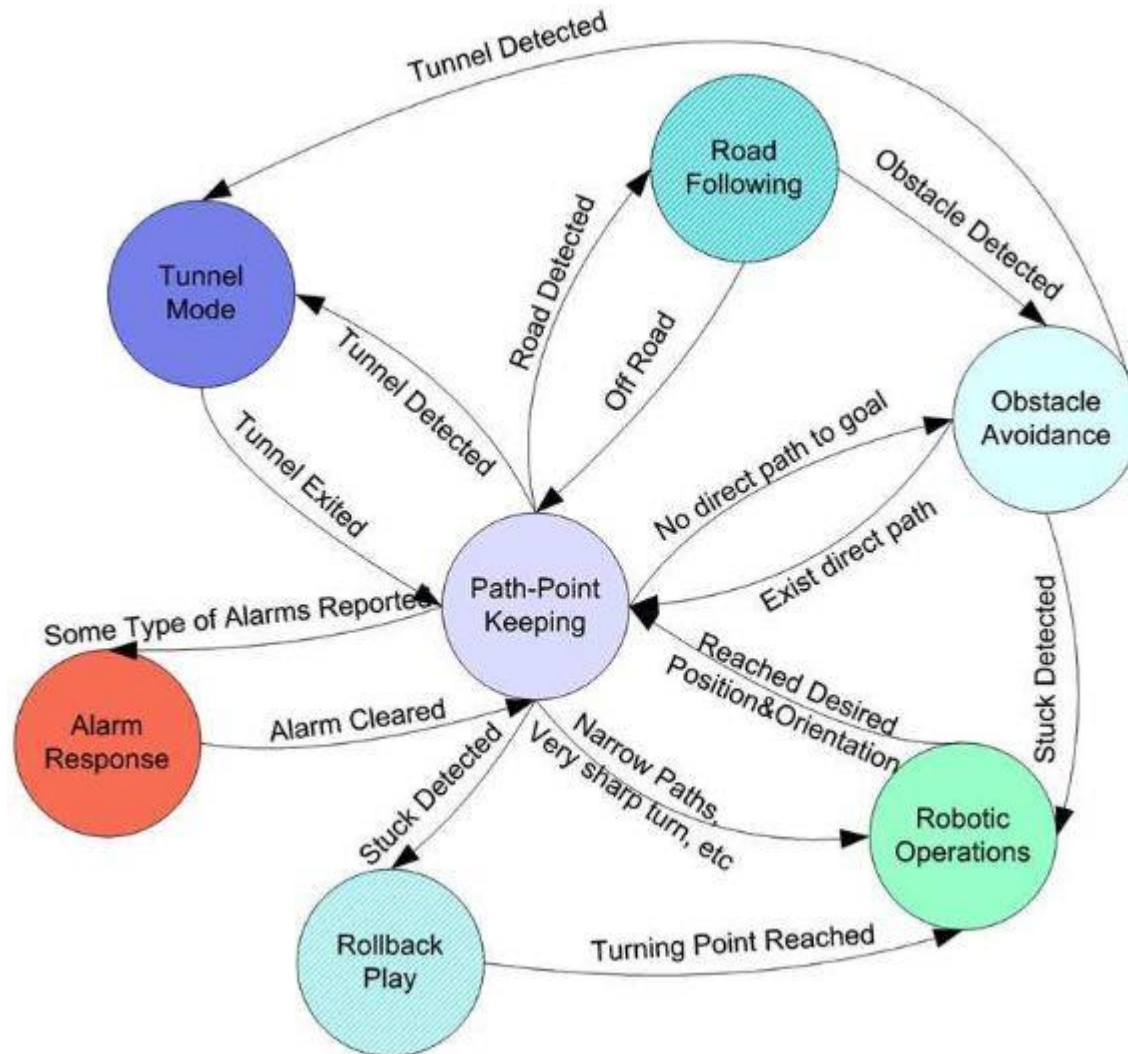
# Un Certain Nombre de Véhicules Militaires

- **Transport pour Militaires :**
  - ✓ R-Trooper : Thalès : PEA Tarot DGA : Suivi de Véhicules, Ralliement d'Amers : Autonomie Supervisée ;
  - ✓ Concurrent allemand ...Velodyne ...



# Partie Intelligente : Comportements :

## Grand Challenge Darpa





# Divers Capteurs

- **Un certain nombre de capteurs :**
  - ✓ De différentes natures ;
  - ✓ Lidar, Radar, Caméras Visible, IR, US ...

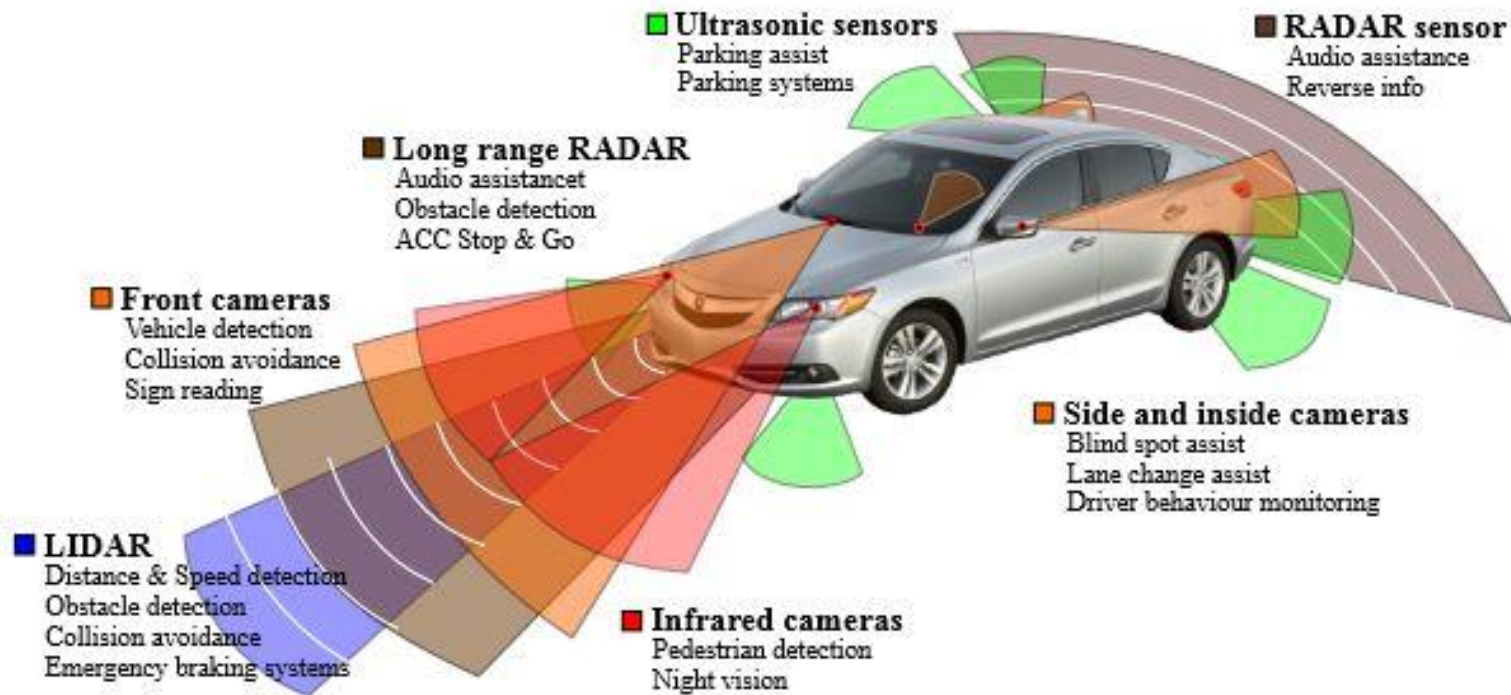
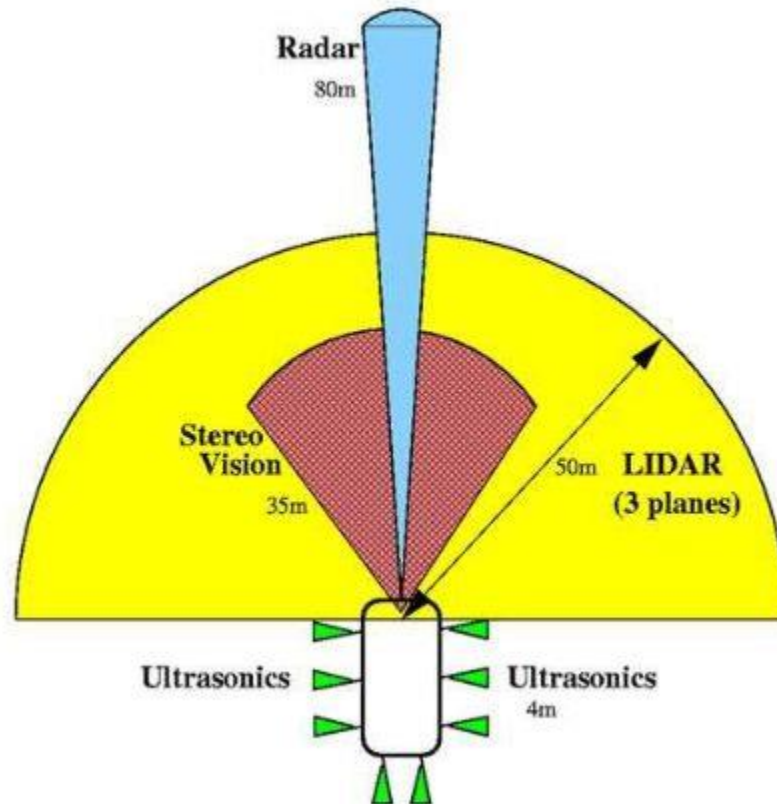


Figure 1.1: Typical types of sensors for ADAS.

# Capteurs Grand Challenge

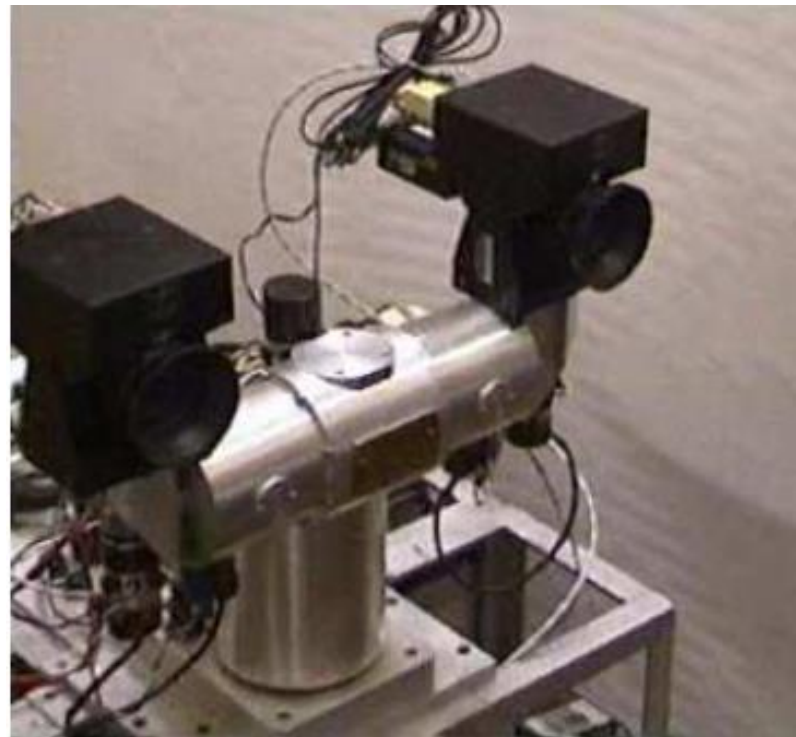
- **Un certain nombre de capteurs : les mêmes**
  - ✓ De différentes natures : complémentarité ;
  - ✓ Lidar, Radar, Caméras Visible, IR, US ...





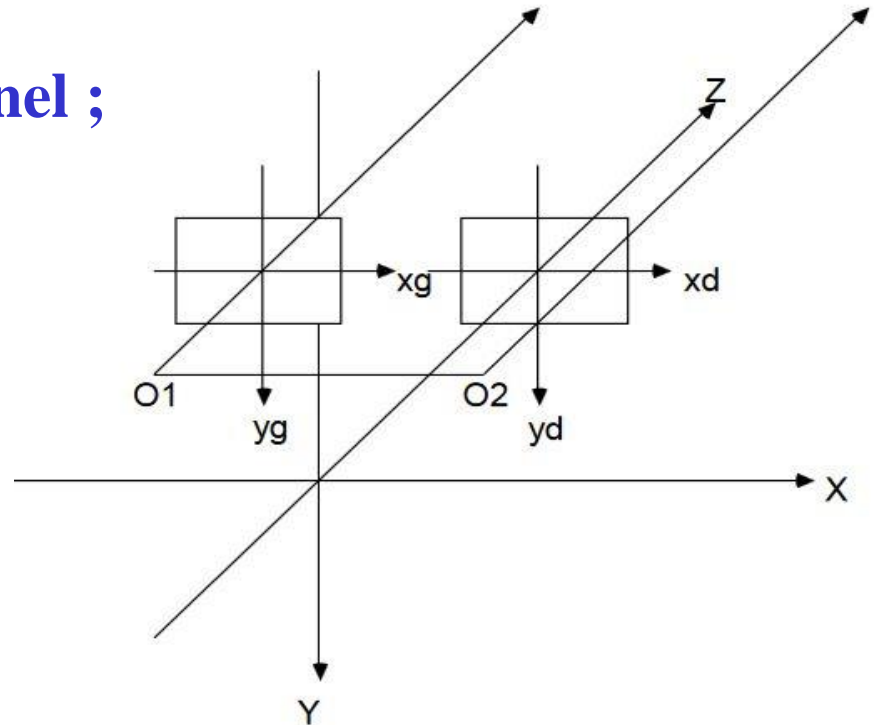
# Capteurs : Stéréovision

- **Stéréovision :**
  - ✓ pour l'homme ;
  - ✓ pour un robot ...
- **Elément important :**
  - ✓ la base : distance entre les caméras : pour voir des différences !



# Capteurs : Stéréovision

- **Modélisation du Banc :**
  - ✓ notation et repères personnel ;
  - ✓ origine au centre ...



Les diverses notations sont:

O1  $(-\Delta/2, -h, 0)$ ; O2  $(\Delta/2, -h, 0)$

h: hauteur des caméras,

f: focale des caméras,

$\Delta$ : distance entre les caméras O1O2

$\delta x, \delta y$  : taille en x et y du pixel sur le plan focal

nlig et ncol nombre de lignes et colonnes

ngx et ndx coordonnées pixel en X sur les images gauche et droite

ngy coordonnées pixel en Y sur l'image gauche

$dx = ngx - ndx$  disparité en pixels

$(xg, yg)$  ,  $(xd, yd)$  coordonnées dans les plans images des points Mg et Md projection du point 3D M(X,Y,Z)

Les centres optiques des deux caméras ont pour position:  $O_1 = \begin{pmatrix} -\Delta/2 \\ -h \\ 0 \end{pmatrix}$        $O_2 = \begin{pmatrix} \Delta/2 \\ -h \\ 0 \end{pmatrix}$

# Capteurs : Stéréovision

- **Formules :**

- ✓ **Projection 3D – 2D;**

- ✓ **Reconstruction 3D distance inverses de la disparité**

p Formules de passage 2D -> 3D (TRIANGULATION)

*\* En fonction des coordonnées sur les plans images:*

$$X = \Delta x_g / (x_g - x_d) - \Delta/2$$

$$Y = \Delta y_g / (x_g - x_d) - h$$

$$Z = \Delta f / (x_g - x_d)$$

*\* En fonction des coordonnées pixel image*

$$X = (ngx - (ncol/2 - 1)) \delta x \Delta / (dx\delta x) - \Delta/2$$

$$Y = (ngy - (nlig/2 - 1)) \delta y \Delta / (dx\delta x) - h$$

$$Z = \Delta f / (dx\delta x)$$

p Formules de passage 3D -> 2D (PROJECTIONS)

*\* En fonction des coordonnées sur les plans images:*

$$x_g = (X + \Delta/2) f / Z, \quad x_d = (X - \Delta/2) f / Z$$

$$y_g = y_d = (Y + h) f / Z$$

*\* En fonction des coordonnées pixel image*

$$ngx = (X + \Delta/2) f / (Z\delta x) + (ncol/2 - 1)$$

$$ndx = (X - \Delta/2) f / (Z\delta x) + (ncol/2 - 1)$$

$$ngy = ndy = (Y + h) f / (Z\delta y) + (nlig/2 - 1)$$



## Capteurs : Lidar

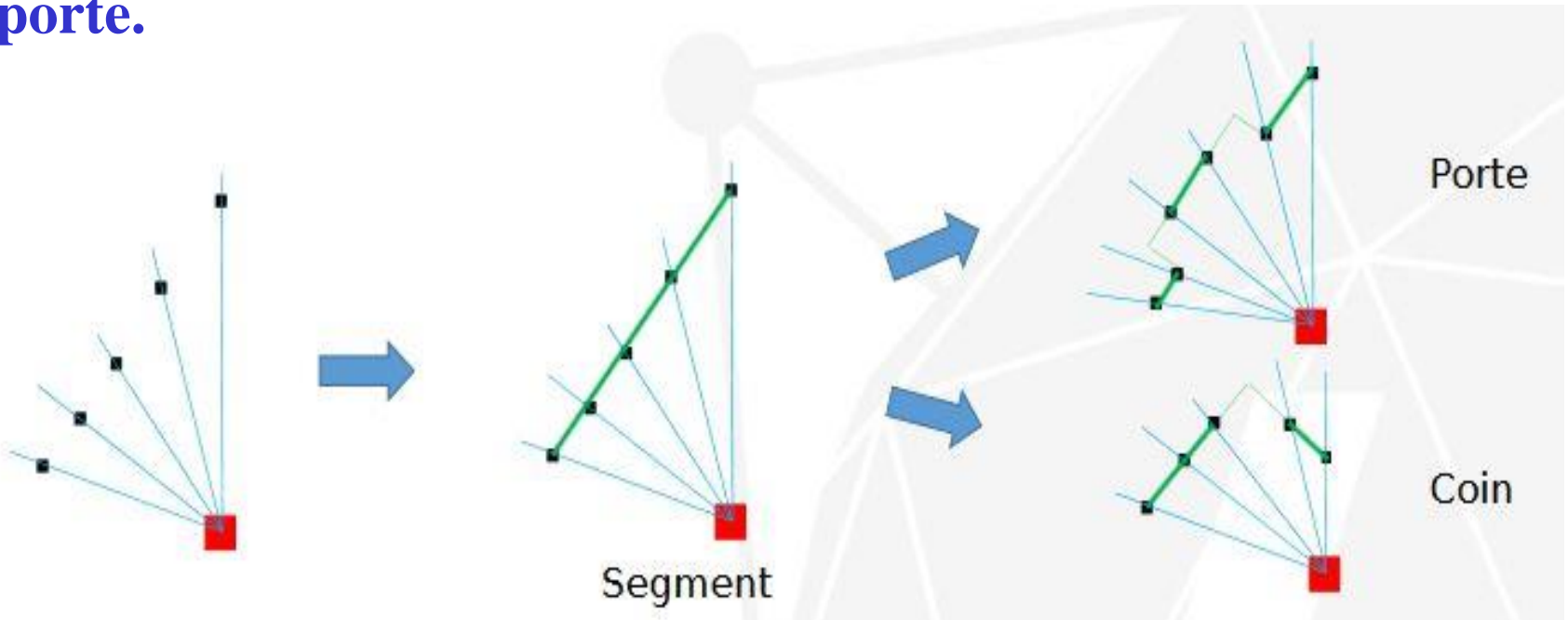
- **Lidar : pour la robotique autonome**
  - ✓ Mono nappe : nuage de points dans un plan horizontal ;
  - ✓ Hokuyo : 10 m, 40 Hz, 130 g (1900 €)
  - ✓ YD Lidar : 10 m, 5 Hz, (100 €)



# Principe du Lidar

- **Principe**

- ✓ Lancer des rayons laser par rotation ;
- ✓ Donnée : distance en fonction de l'angle ;
- ✓ Effet sur un mur, un coin de mur et un renforcement de porte.

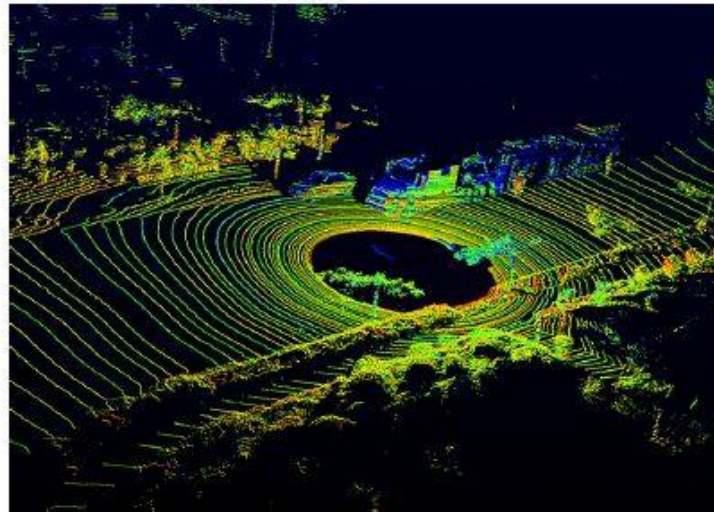


# Capteurs : Velodynes

- **Velodyne :**
  - ✓ Lidar : 64 nappes ;
  - ✓ Points 3D : Intersections avec les objets de la scène ;
  - ✓ Nouveaux sans pièce mobile ;
  - ✓ Qq années 50 k€, attente de nouveaux à moins de 100 € pour le monde automobile.



(A) Velodyne HDL-64E



(B) Nuage de points



# Capteurs : Velodynes

- **Velodyne :**
  - ✓ Nouveaux capteurs .



- ✓ Best horizontal (360°) and vertical (40°) long-range sensor
  - ✓ 10% targets >300m typical
  - ✓ 5% targets >180m typical
  - ✓ Ground plane hits >90m typical
- ✓ High resolution (0.2° x 0.1°) and point density at full frame rate

# Effet du Mouvement : Caméra et Lidar

- **Mouvement et Fréquence Capteur**
  - ✓ **Caméra : Rolling et Global Shutter ;**
  - ✓ **Lidar : Vitesse de Rotation.**



(A) Images prises en global shutter



(B) Images prises en rolling shutter



(A) Trame RP-lidar pour une vitesse nulle



(B) Déformation d'une trame RP-lidar pour une vitesse de 1m/s

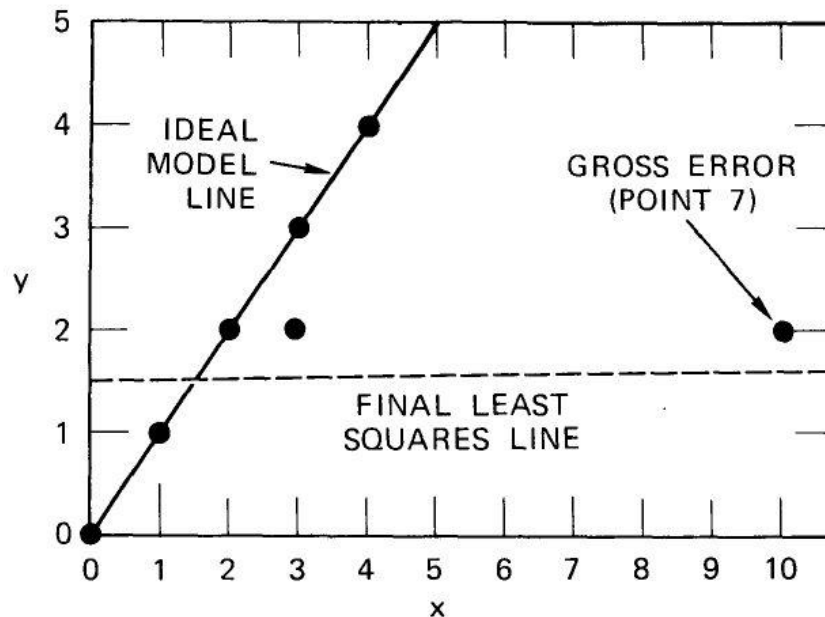


(c) Déformation d'une trame RP-lidar pour une vitesse de 10m/s

FIGURE 2.18: Effet de la vitesse sur un capteur RP-lidar

# Traitement des Données du Lidar

- **Données Lidar :**
  - ✓ Nuage « ordonné » de Points;
  - ✓ Traitements Classiques (ne tenant pas compte du côté ordonné) : Méthodes globales : Moindres Carrés, Hough, RANSAC
- **Moindres Carrés : problème avec les Données Bruitées**
  - ✓ Cf exemple ...





## Caractéristiques de la Méthode RANSAC

- **Intérêt : Prise en Considération des Données Erronées**
  - ✓ Données satisfaisant au modèle,
  - ✓ Données ne satisfaisant pas au modèle.
- **Méthode Itérative : Prédiction / Vérification d'Hypothèses**
  - ✓ Tir aléatoire de Données : Modélisation Initiale,
  - ✓ Agrégation Rejet de nouvelles données,
  - ✓ Raffinement du Modèle Initial,
  - ✓ Quantification du Modèle trouvé à partir du nombre de données agréées.

# Algorithme de la Méthode RANSAC

```
sorties :  
    meilleur_modèle - les paramètres du modèle qui correspondent le mieux aux données (ou zéro si aucun bon modèle a été trouvé)  
    meilleur_ensemble_points - données à partir desquelles ce modèle a été estimé  
    meilleure_erreur - l'erreur de ce modèle par rapport aux données  
  
itérateur := 0  
meilleur_modèle := aucun  
meilleur_ensemble_points := aucun  
meilleure_erreur := infini  
tant que itérateur < k  
    points_aléatoires := n valeurs choisies au hasard à partir des données  
    modèle_possible := paramètres du modèle correspondant aux points_aléatoires  
    ensemble_points := points_aléatoires  
  
    Pour chaque point des données pas dans points_aléatoires  
        si le point s'ajuste au modèle_possible avec une erreur inférieure à t  
            Ajouter un point à ensemble_points  
  
    si le nombre d'éléments dans ensemble_points est > d  
        (ce qui implique que nous avons peut-être trouvé un bon modèle,  
        on teste maintenant dans quelle mesure il est correct)  
        modèle_possible := paramètres du modèle réajusté à tous les points de ensemble_points  
        erreur := une mesure de la manière dont ces points correspondent au modèle_possible  
        si erreur < meilleure_erreur  
            (nous avons trouvé un modèle qui est mieux que tous les précédents,  
            le garder jusqu'à ce qu'un meilleur soit trouvé)  
            meilleur_modèle := modèle_possible  
            meilleur_ensemble_points := ensemble_points  
            meilleure_erreur := erreur  
  
    incrémentation de l'itérateur  
  
retourne meilleur_modèle, meilleur_ensemble_points, meilleure_erreur
```

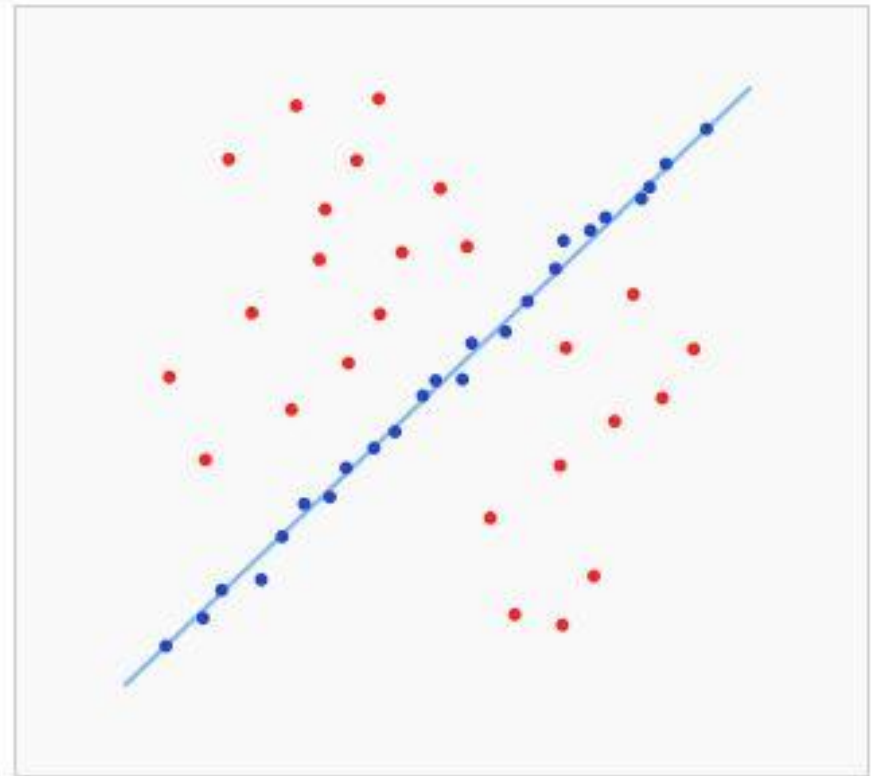
Source : Wikipédia

# Méthode RANSAC : Résultats pour la Recherche de Droites :

## A partir des Points de Contour:



Un jeu de données avec de nombreuses valeurs aberrantes pour lequel une ligne doit être ajustée.



Ligne ajustée avec la méthode RANSAC, les valeurs aberrantes n'ont aucune influence sur le résultat.

**Source : Wikipédia**

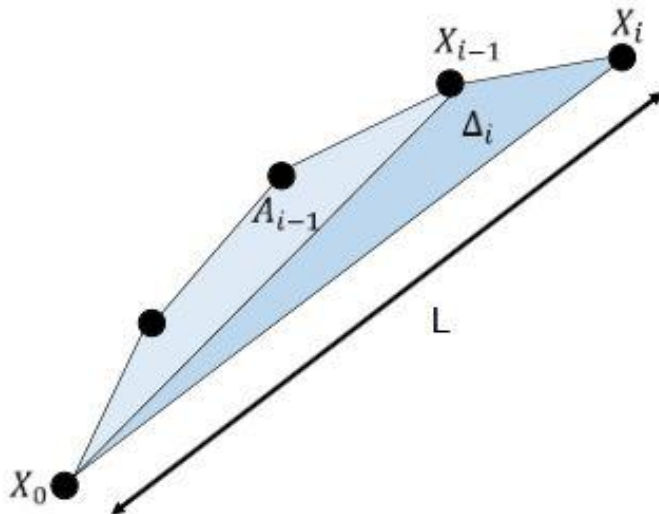


# Détection de Segments dans des Données Lidar (G.Burtin)

- **Détection de Segments**

- ✓ Méthode Traitement d'Image : Wall et Danielson,
- ✓ Post traitement des segments morcelés.

Principe de fonctionnement : les points sont ajoutés itérativement dans l'ordre en vérifiant la condition d'erreur acceptable



L'erreur d'approximation est la surface calculée  $A_i$  (bleue), formée entre l'arc et la corde, divisée par la longueur de l'arc

$$A_i = A_{i-1} + \Delta_i$$

On ajoute le point  $X_i$  au segment si :

$$\frac{A_i}{L} \leq \text{Seuil}$$

# Détection de Segments dans des Données Lidar (G.Burtin)

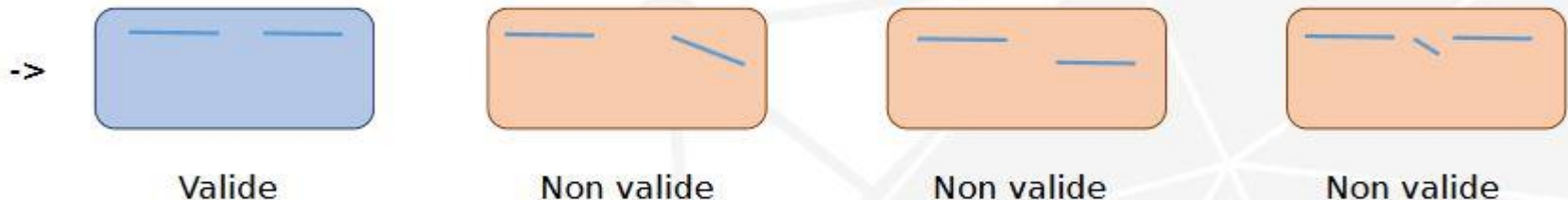
## • Post Traitement

- ✓ Segment morcelés ;
- ✓ Méthode en 3 itérations

Post-traitement : fusion - érosion - fusion

- Processus de fusion de segments

Segments consécutifs et portés par la même droite : considérés séparés à tort



- Processus d'érosion

Segment de faible longueur : sensible au bruit angulaire (paramètre  $\theta$ ), considéré peu « intéressant »

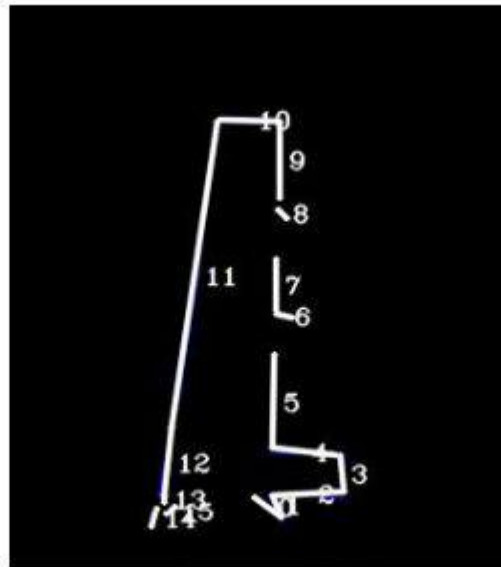
-> Suppression de tout segment inférieur à une longueur déterminée

# Détection de Segments dans des Données Lidar (G.Burtin)

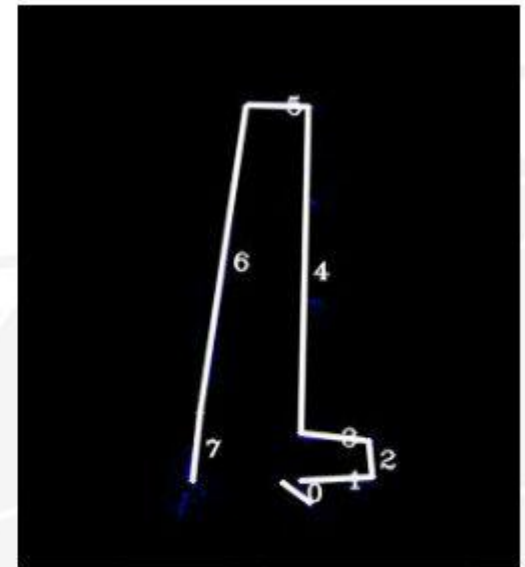
- **Résultats**
  - ✓ Expérimentations dans un couloir ;
  - ✓ Odométrie obtenue par recalage des cartes ;
  - ✓ Amers obtenus pour le recalage : fiables



Scène originale



Segments initiaux



Amers finaux

# Recalage à partir des Données Lidar : SLAM (G.Burtin)

Observation des amers lidar



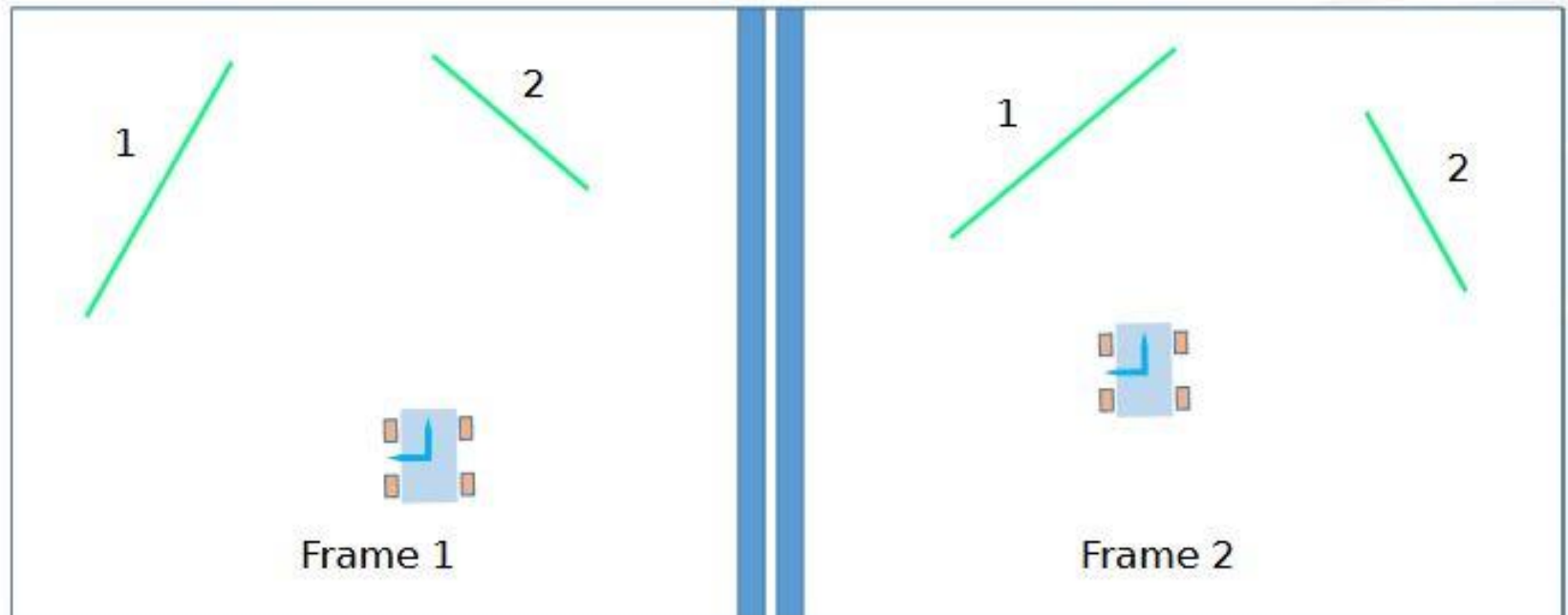


# Recalage à partir des Données Lidar : SLAM (G.Burtin)

Appariement des amers d'une frame à l'autre :

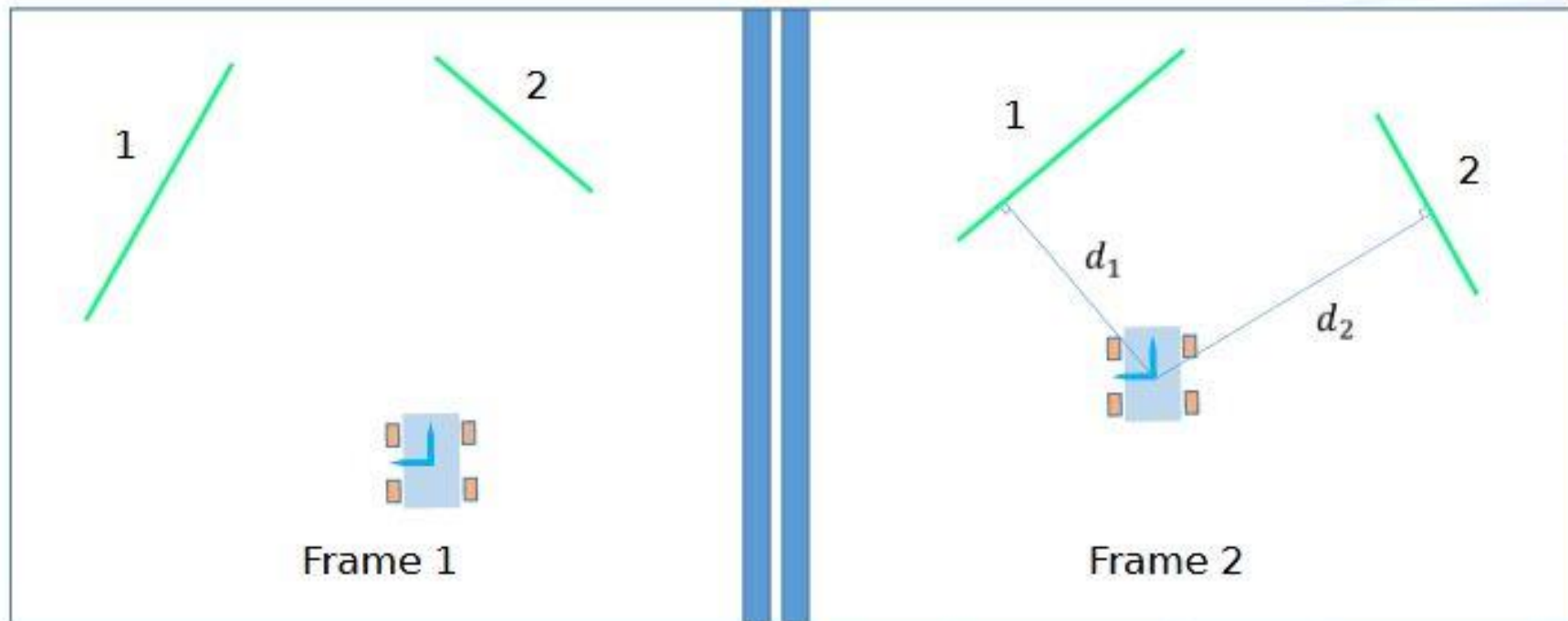
Critères de minimisation (longueur , angle, distance)

- Prédiction de la position estimée
- Optimisation de l'estimation de la matrice de pondération



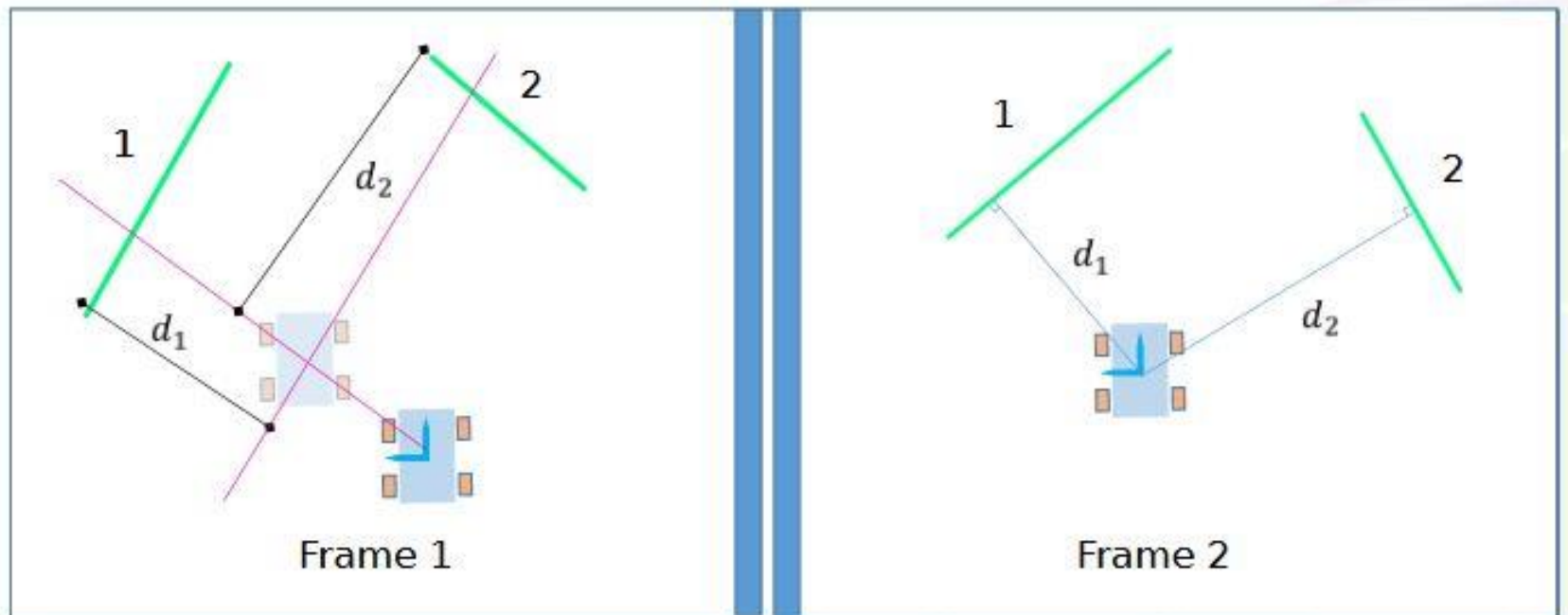
# Recalage à partir des Données Lidar : SLAM (G.Burtin)

Calcul des distances minimales



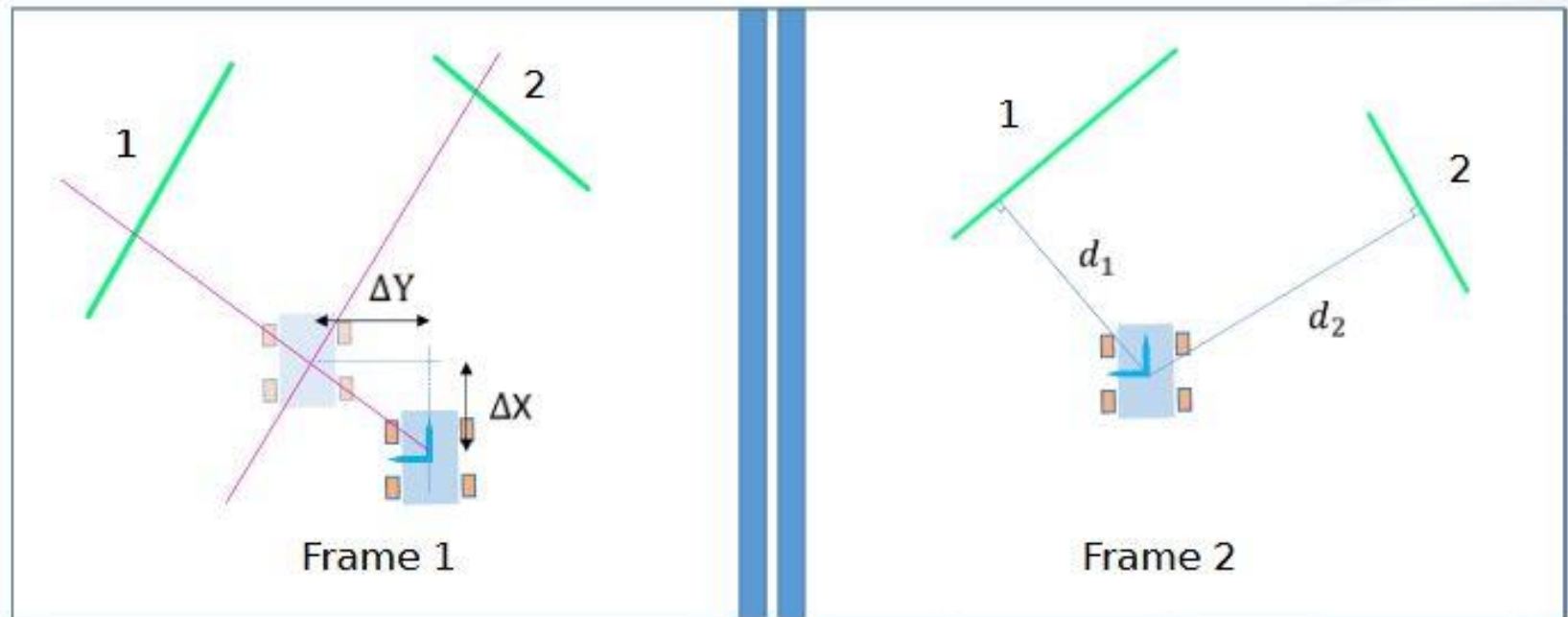
# Recalage à partir des Données Lidar : SLAM (G.Burtin)

Reprojection dans la frame initiale du premier amer



# Recalage à partir des Données Lidar : SLAM (G.Burtin)

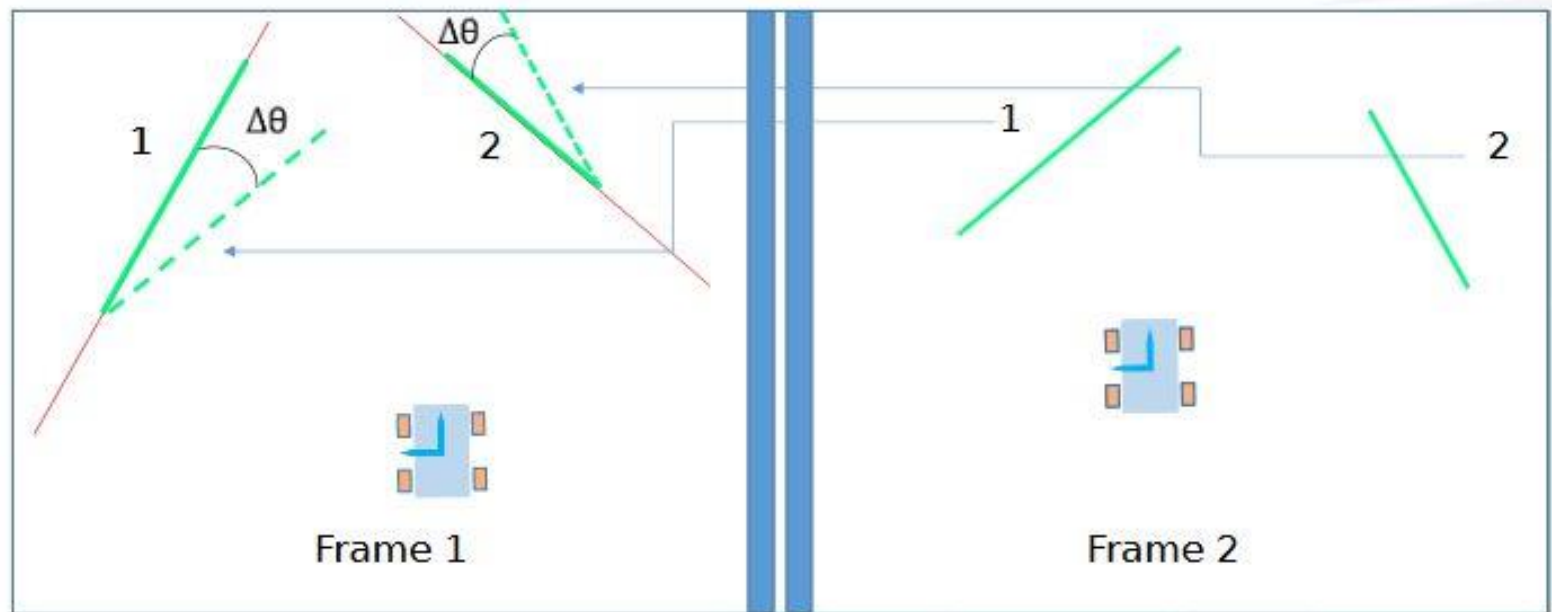
Résolution du déplacement entre les frames





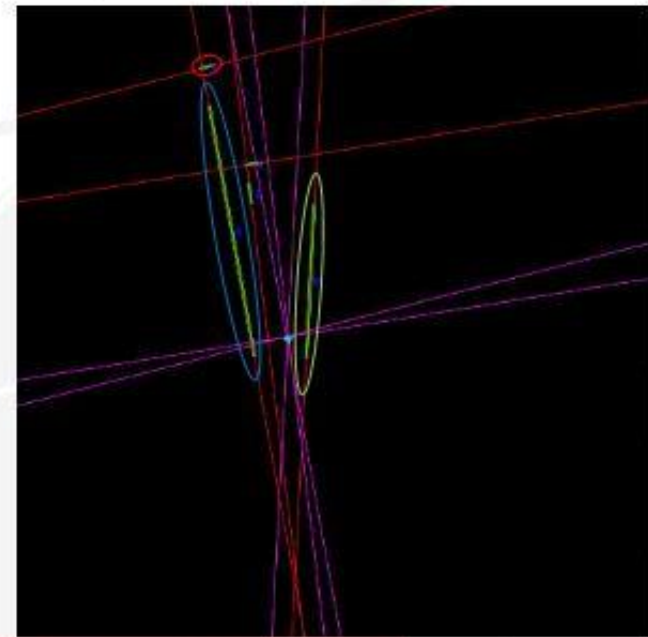
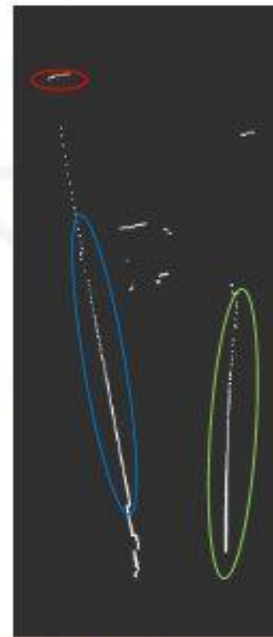
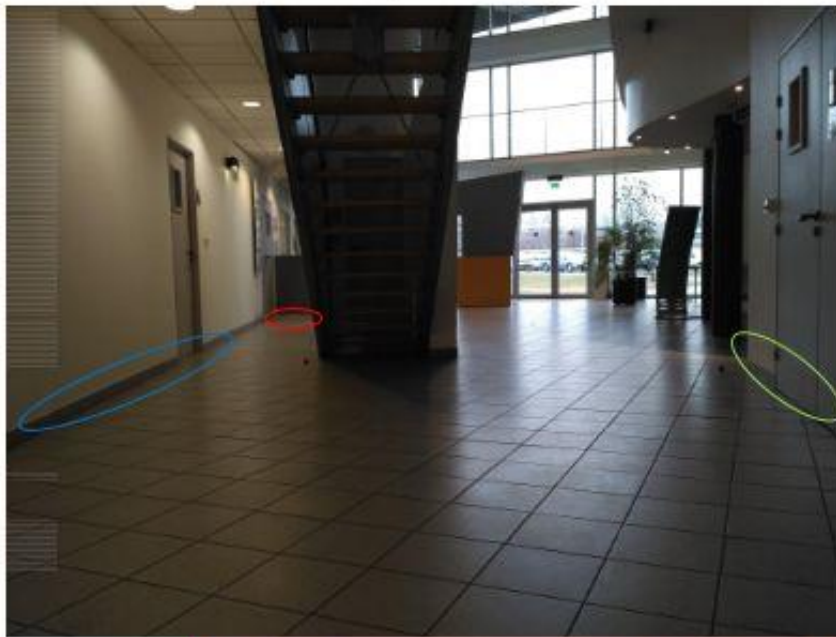
# Recalage à partir des Données Lidar : SLAM (G.Burtin)

Le calcul du changement de l'orientation se fait avec les angles perçus



# Recalage à partir des Données Lidar : SLAM (G.Burtin)

Recalage en environnement réel (RdC de Pascalis, locaux de 4D-Virtualiz)  
Mise en évidence des surfaces détectées (réel - lidar - recalage)  
Estimation du déplacement par l'intersection (pointe de la croix cyan)



Ici aussi, aucune modification de l'algorithme en passant du simulé au réel

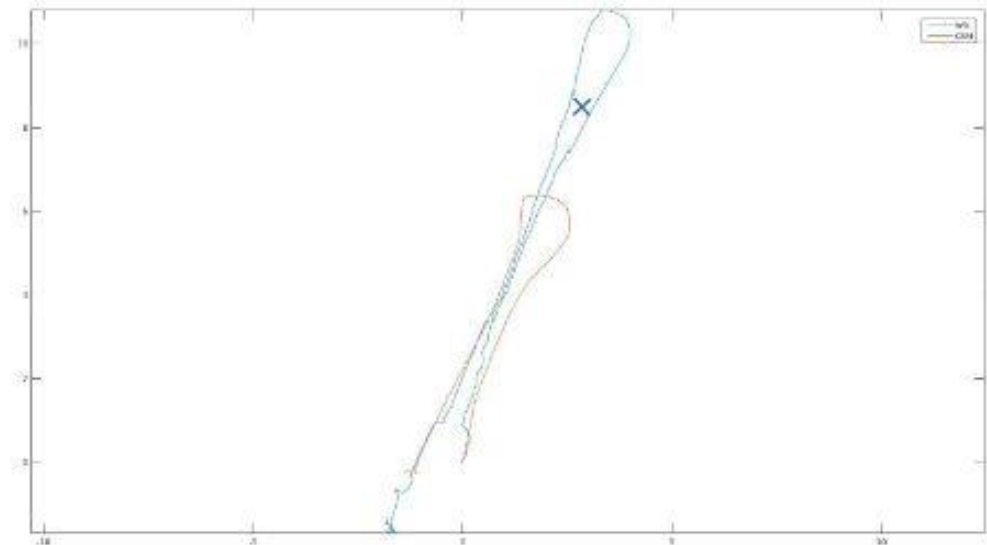
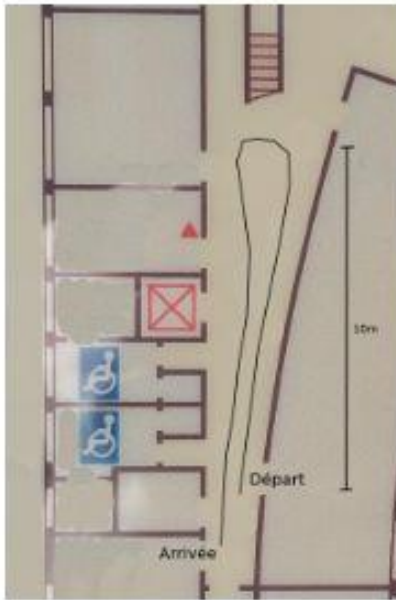
# Recalage à partir des Données Lidar : SLAM (G.Burtin)

Test effectué a Pascalis dans le hall de ce bâtiment

Pas de possibilité d'avoir une vérité terrain

Conservation de la forme de la trajectoire

Le CSM sous-estime le déplacement alors que notre méthode le sur-estime

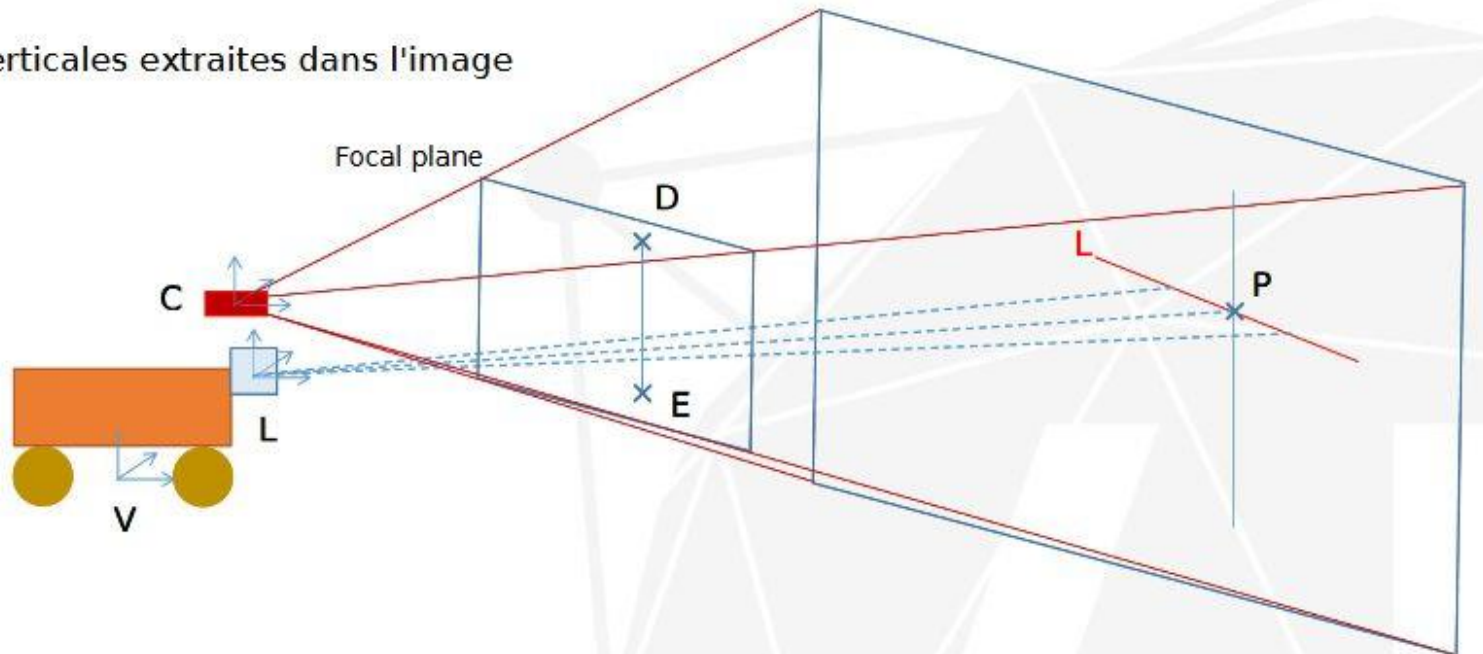


# 3D par fusion Lidar 2D Image 2D (G.Burtin)

- **Hypothèse : Environnement humain**
  - ✓ Composé d'horizontales et de verticales 3D.
- **Principe :**
  - ✓ Détection d'un Amer dans le Plan Lidar : point P (3D);
  - ✓ Détection d'une Ligne Verticale dans l'Image ; D-E ;
  - ✓ Projection de la ligne DE dans l'espace 3D sur P

On cherche à détecter des points particuliers (P) en utilisant à la fois la caméra RGB et la nappe laser : **exploitation de la complémentarité des capteurs**

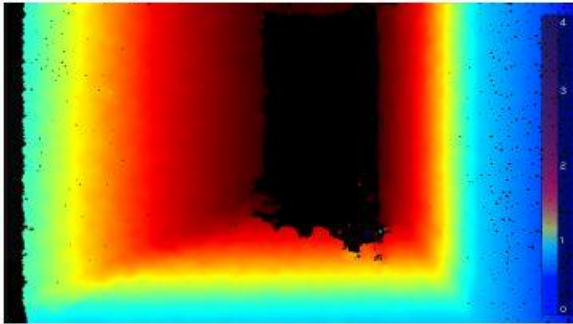
Puis les verticales extraites dans l'image





# Comparaison avec le Real Sense (G.Burtin)

## Real Sense :



(B) Caméra de profondeur du RealSense D435



(A) Caméra RGB du RealSense D435

## Fusion Lidar – Vision :



(C) Lidar URG-04LX



(E) Re-projection des points de contours filtrés sur l'image originale